

줄-겔법에 의해 제조된 LiMPO₄(M = Fe, Mn) 양극 활물질의 전기화학적 특성

김재광 · 백동호 · 신용조 · 안주현* · 서양곤 · 김지수† · 윤석준† · 조명훈†

경상대학교 생명화학공학과 및 공학연구원,

†브이케이아이지주식회사

(2008년 4월 10일 접수 : 2008년 5월 2일 채택)

Electrochemical Properties of LiMPO₄(M = Fe, Mn) Synthesized by Sol-Gel Method

Jae-Kwang Kim, Dong-Ho Baek, Yong-Jo Shin, Jou-Hyeon Ahn*, Yang-Gon Seo,
Chi-Su Kim†, Seok-Jun Yoon†, and Myung-Hun Cho†

Department of Chemical and Biological Engineering and Engineering Research Institute,

Gyeongsang National University, Jinju 660-701, Korea

†VK-EIG, Cheonan 330-814, Korea

(Received April 10, 2008 : Accepted May 2, 2008)

초 록

리튬이차전지의 양극 활물질로 카본 코팅된 LiFePO₄와 LiMn_{0.4}Fe_{0.6}PO₄를 줄-겔 방법으로 합성하였다. 제조된 양극 활물질을 X-선 회절분석과 주사전자현미경을 통하여 불순물이 존재하지 않으며 기공이 잘 발달되어 있다는 것을 확인하였다. 액체전해질을 사용하여 0.1 C-rate의 전류밀도에서 충방전하였을 경우 LiFePO₄는 132 mAh/g, LiMn_{0.4}Fe_{0.6}PO₄는 145 mAh/g의 방전용량을 각각 나타내었다. 전기방사에 의해 만들어진 젤 고분자 전해질을 사용하였을 경우에 LiFePO₄와 LiMn_{0.4}Fe_{0.6}PO₄는 각각 114, 130 mAh/g의 우수한 방전용량을 나타내었다.

Abstract : Carbon-coated LiFePO₄ and LiMn_{0.4}Fe_{0.6}PO₄ cathode materials for lithium batteries were synthesized by a sol-gel method. X-ray diffraction and scanning electron microscopy data showed that the cathode materials are pure crystalline and are surrounded by porous carbon. The initial discharge capacities of LiFePO₄ and LiMn_{0.4}Fe_{0.6}PO₄ with the liquid electrolyte of 1M LiPF₆ in EC/DMC are 132 mAh/g and 145 mAh/g, respectively, at current density of 0.1 C-rate. LiFePO₄ and LiMn_{0.4}Fe_{0.6}PO₄ with an electrospun polymer-based electrolyte exhibit initial discharge capacities of 114 and 130 mAh/g at 0.1 C-rate at room temperature, respectively.

Keywords : LiFePO₄, LiMn_{0.4}Fe_{0.6}PO₄, Sol-gel method, Electrospun polymer-based electrolyte, Electrochemical properties.

1. 서 론

이차전지의 시장이 확대되면서 이차전지의 전극물질에 대한 많은 연구가 진행되고 있다. 특히 양극물질에 있어서는 많은 관심이 LiFePO₄에 집중되고 있다. LiFePO₄는 170 mAh/g의 이론 용량, 값싼 원료물질, 안정적인 사이클 특성 등의 이점도 있지만 그중 열적 안전성이 가장 큰 장점이라 할 수 있다. 현재 양극물질로 많이 이용되는 LiCoO₂의 경우 전극 내에서 온도가 상승하면 O₂ 가스가 발생하여 가연성의 유기전해질이 발화될 수 있다. 그러나 LiFePO₄의 경우에는 P와 O 사이에 강한 공유결합으로 인하여 온도 상승에 의한 O₂ 가스의 발생이 없다.

LiFePO₄ 양극재료는 전기전도도와 리튬이온의 확산 속도가 너무 낮아 충방전 용량이 이론 용량에 크게 미치지 못하였다.¹⁾ 이후 Ravet 등²⁾은 전도체 물질인 카본을 LiFePO₄ 입자 주위에

코팅하여 전기전도도를 향상시켜 LiFePO₄ 양극재료의 전기화학적 특성을 크게 개선하였다. 이러한 카본 코팅은 LiFePO₄를 제조하기 위한 과정인 열처리 공정에서 LiFePO₄ 입자의 성장을 줄이며, 환원제 역할을 하기도 하여 열처리 중 발생 할 수 있는 Fe³⁺의 형성을 막아준다는 것이 알려졌다. 이후 LiFePO₄의 전기화학적 성능을 향상시키기 위하여 다양한 합성법과 코팅방법에 대한 연구가 활발히 진행되고 있다.³⁻⁹⁾

전기화학적 성능을 향상시키기 위하여 전도체 물질을 양극 활물질 입자 주위에 코팅 층을 형성시키는 방법과는 다르게 LiFePO₄의 Fe를 일정량 Co, Mn, Ni로 바꾸어 2 또는 3성분계 구조를 갖는 물질을 합성하는 연구가 진행되고 있다. Fe를 Co, Mn, Ni 등의 물질로 대체하여 LiFePO₄의 3.4 V에서 평탄전위를 4.0 V대로 증가시킬 수 있다.^{10,11,13)} 또한 안정적인 Olivine 구조의 4c 팔면체 위치에 Fe와 Mn을 공존시켜 높은 방전용량을 얻을 수 있다.

최근에 고분자 나노섬유를 고분자 분리막 또는 고분자 전해

*E-mail: jhahn@gnu.ac.kr

질로 이용하려는 연구가 활발히 진행되고 있다.^{14,15)} 고분자 나노섬유 필름을 제조하는 방법에는 드로잉, 템플레이트 합성, 상분리, 자기조합, 전기방사 등이 있으며, 그 중 전기방사법은 다양한 고분자로부터 나노섬유를 연속적으로 대량 생산할 수 있는 유일한 방법으로 여러 가지 장점이 있다. 아주 작은 나노 크기의 다양한 직경을 갖는 섬유를 생산할 수 있고 기존의 부직포 제조법에 비하여 장비가 간단하며 광범위한 고분자 소재에 적용이 가능하다. 그리고 기존 섬유에 비해 부피 대비 표면적 비가 높으며 제조된 막의 공극률이 매우 높다. 겔 고분자전해질의 원료인 고분자필름을 제조하기 위한 고분자재료로는 poly(ethylene oxide) (PEO), Polyacrylonitrile (PAN), Poly(methyl methacrylate) (PMMA) 그리고 Poly(vinylidene fluoride) (PVdF) 등이 있으나, PVdF 계열의 Poly(vinylidene fluoride-co-hexafluoropropylene) (PVdF-HFP)가 기계적 강도와 전기화학적 안정성이 좋아 겔 고분자전해질의 원료물질로 많이 사용된다.¹⁶⁻¹⁸⁾

본 연구에서는 졸-겔법으로 LiFePO₄와 LiMn_{0.4}Fe_{0.6}PO₄를 제조하였으며, 액체전해질과 고분자전해질을 사용하여 그들의 전기화학적 특성을 비교하였다. 제조된 LiFePO₄와 LiMn_{0.4}Fe_{0.6}PO₄의 구조를 XRD, FT-IR, SEM, HR-TEM을 이용하여 분석하였으며, 전기방사로 다공성 고분자필름을 제조하고 여기에 액체전해질을 함침시킨 겔 고분자전해질을 적용하여 LiFePO₄와 LiMn_{0.4}Fe_{0.6}PO₄의 초기방전용량, 사이클 특성 등 전기화학적 특성을 조사하였다.

2. 실험

LiFePO₄와 LiMn_{0.4}Fe_{0.6}PO₄ 제조 시 출발 물질로 Li₂CO₃, FeC₂O₄·2H₂O, NH₄H₂PO₄ (LiMn_{0.4}Fe_{0.6}PO₄ 경우 Mn(COOCH₃)₂·4H₂O 추가)를 각각 양분비에 맞추어 탈이온 3차 중류수에 넣어 혼합하였다. 또 다른 한쪽에서는 구연산을 탈이온 3차 중류수에 넣고 용해시킨다. 각각 만들어진 이 두 용액을 혼합하고 70도에서 12시간 동안 교반하면서 건조하여 겔 상태로 만들었다. 겔 상태의 물질을 전공 건조 과정을 거쳐 수분을 제거한 후 전기로에서 두 단계(500°C에서 3시간, 700°C에서 10시간)로 질소분위기에서 열처리하였다. 열처리 과정에서 계면활성제로 첨가된 구연산이 카본으로 바뀌어 양극물질 입자 주위에 코팅 층을 형성한다.

고분자 나노섬유를 제조하기 위해 아세톤과 N,N-dimethyl acetamide (DMAc)의 혼합 용액에 PVdF-HFP 분말을 16% 첨가하여 점도가 있는 용액을 만들었다. 이 용액을 주사기에 넣어 전기방사 장치를 통하여 아주 작은 직경의 섬유들이 모여 있는 필름을 제조하였다.^{15,16)}

합성된 양극 활물질의 결정구조와 불순물을 X-선 회절분석기(XRD, D8 Advance, Bruker AXS)와 적외선 분광분석기(FT-IR, VERTEX 80v, Bruker Optics)를 사용하여 확인하였다. FullProf 2000 프로그램을 사용하여 Rietveld refinement에 의해 결정격자 상수를 결정하였다. 입자들의 표면을 주사전자현미경(SEM, JEOL JSM 5600)을 사용하여 관찰하였으며, 입자의 분포와 코팅된 카본의 형태를 투과전자현미경(HR-TEM, JEM-3010, JEOL)을 이용하여 확인하였다. 그리고 제조된 양극 활물질의 화학적 성분비를 유도결합 플라즈마 방출분석기(ICP, Atomscan 25, Optima 4300DV)를 사용하여 확인하였으며, 양극 활물질에 코팅된 카본의 함량을 원소분석기(CHNS-932, LECO)를 사용하여 결정하였다.

제조된 양극 활물질의 전기화학적 특성을 조사하기 위하여 양극 활물질, 도전재로는 Super-P 카본블랙, 결합제로는 폴리비닐 리덴플루오라이드(PVdF, Aldrich)를 80 : 10 : 10의 중량 비로 N-메틸파롤리돈(NMP)에 분산시켜 슬러리를 제조하였다. 이 슬러리를 알루미늄박에 얇게 도포하고, 95°C에서 12시간 동안 진공건조하여 양극을 제조하였다. 리튬 음극, 분리막(Celgard®-2200), 제조된 양극을 적층하여 코인 전지(CR2032)를 제조하였다. 에틸렌 카보네이트와 디메틸 카보네이트가 1 : 1 부피비로 혼합된 액체에 1 M 농도의 LiPF₆를 녹여 만든 액체전해질을 사용하였다. 순환전압전류실험(CV)은 2.0~4.6 V 구간에서 0.1 mV/s의 주사속도로 측정하였으며, 충-방전 실험은 WBCS3000 battery cycler로 25°C에서 LiFePO₄는 2.0~4.4 V, LiMn_{0.4}Fe_{0.6}PO₄는 2.0~4.6 V 구간에서 실시하였다.

3. 결과 및 고찰

졸-겔 방법으로 합성한 LiFePO₄와 LiMn_{0.4}Fe_{0.6}PO₄는 모두 ICP의 원소분석 결과로부터 Li : Fe : P, Li : Mn : Fe : P의 양분비가 1.00 : 1.00 : 1.00, 1.00 : 0.40 : 0.60 : 1.00인 것으로 각각 알 수 있었으며, 표준 오차 범위는 (± 0.01)이다. 이 결과로부터 제조하기 위해 들어간 원료들의 양분비와 일치하는 것을 확인 할 수 있었다. 최종 열처리 후 구연산이 변화한 카본의 양은 10.0 wt%로 원소분석을 통하여 결정하였으며, 두 물질 모두 동일하였다. Fig. 1에는 졸-겔 법으로 합성한 LiFePO₄와 LiMn_{0.4}Fe_{0.6}PO₄의 XRD 분석결과를 나타내었다. LiFePO₄의 이론 Fig. 1(a)과 졸-겔 방법으로 합성한 LiFePO₄의 Fig. 1(b)의 위치가 일치하므로 XRD 검출 한계 내에서 불순물이 없다는 것을 확인하였다. LiFePO₄가 (a = 10.33 Å, b = 6.01 Å, c = 4.69 Å) 사방정계의 Olivine 구조인 *Pmna* 결정 구조를 가지고 있다는 것을 알 수 있다. Fig. 1(c)에서 알 수 있듯이 LiMn_{0.4}Fe_{0.6}PO₄ (a = 10.39 Å, b = 6.05 Å, c = 4.72 Å)는 꾹의 형태는 LiFePO₄와 같고 위치만 조금씩 왼쪽으로 이동되었다는 것을 확인하였다. X-선 회절분석을 통하여 졸-겔 방법에 의해 합성된 LiFePO₄와 LiMn_{0.4}Fe_{0.6}PO₄는 XRD 분석 상 Fe³⁺의 불순물 없이 결정이 잘 이루어져 있다는 것을 알 수 있었다.

합성된 두 물질의 FT-IR 결과를 Fig. 2에 나타내었다. LiFePO₄의 고유 꺽은 469~504 cm⁻¹ 파장에서 이중으로 나타나며, 리튬

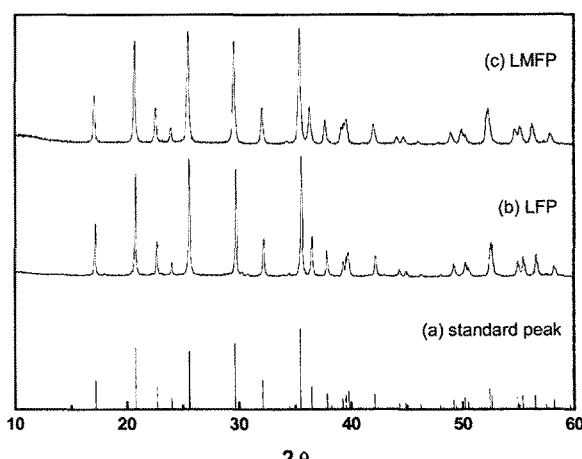


Fig. 1. XRD spectra of (a) standard *Pmna* orthorhombic LiFePO₄, (b) LFP, and (c) LiMn_{0.4}Fe_{0.6}PO₄.

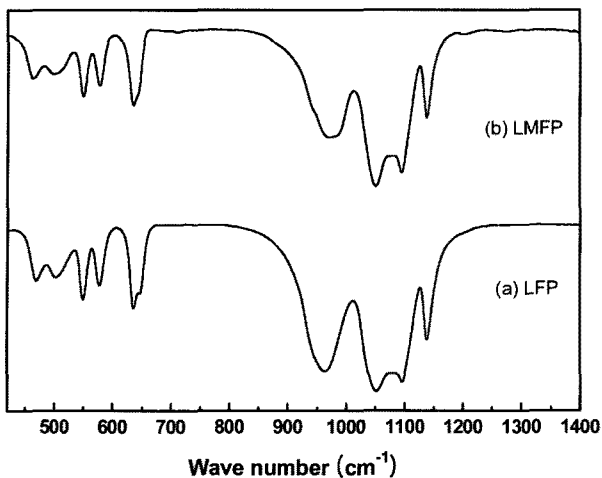


Fig. 2. FT-IR spectra of (a) LiFePO_4 and (b) $\text{LiMn}_{0.4}\text{Fe}_{0.6}\text{PO}_4$.

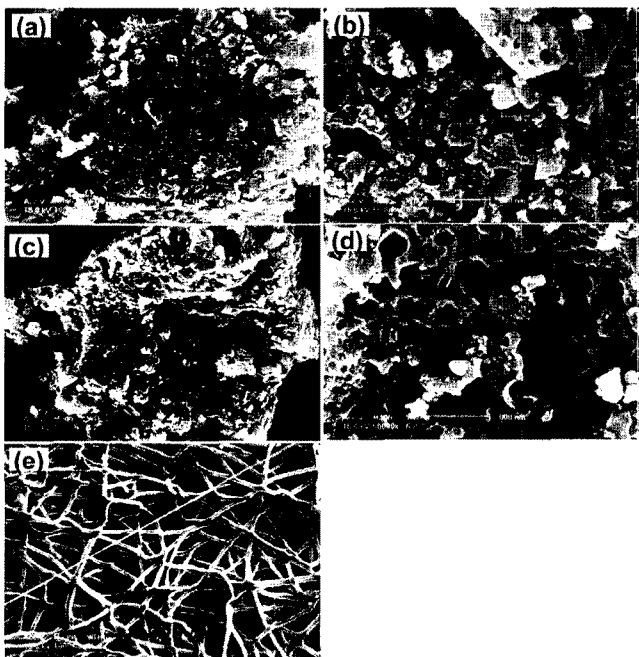


Fig. 3. SEM images of (a, b) LiFePO_4 , (c, d) $\text{LiMn}_{0.4}\text{Fe}_{0.6}\text{PO}_4$, and (e) electrospun P(VdF-HFP) film.

계 불순물인 Li_3PO_4 의 꺾은 424 cm^{-1} 에서, LiFePO_4 -에 의한 꺾은 762 cm^{-1} 와 1180 cm^{-1} 에서 각각 나타나는데, LiFePO_4 Fig. 2(a) 와 $\text{LiMn}_{0.4}\text{Fe}_{0.6}\text{PO}_4$ Fig. 2(b) 모두 리튬계 불순물에 의한 꺾이 발견되지 않았다. 따라서 FT-IR로는 졸-겔법에 의해 합성된 두 양극물질에서 리튬계 불순물이 검출되지 않았다.¹⁹⁾

Fig. 3는 LiFePO_4 , $\text{LiMn}_{0.4}\text{Fe}_{0.6}\text{PO}_4$ 그리고 전기방사에 의해 제조된 고분자 나노섬유의 SEM 사진이다. LiFePO_4 Fig. 3(a, b) 와 $\text{LiMn}_{0.4}\text{Fe}_{0.6}\text{PO}_4$ Fig. 3(c, d)의 두 양극물질 모두 $10\text{--}20 \mu\text{m}$ 의 입자 분포를 나타내며, 이는 두 양극물질의 합성 조건이 같아 크게 차이가 나지 않는다는 것을 알 수 있다. SEM 사진상에 나타난 입자를 약 50개 취하여 구한 LiFePO_4 의 평균 입자크기는 $15 \mu\text{m}$ 이며, $\text{LiMn}_{0.4}\text{Fe}_{0.6}\text{PO}_4$ 는 약간 작은 $13 \mu\text{m}$ 이다. 졸-겔법에 의해 만들어진 입자는 많은 기공을 가지게 되는데 이는 전극 물질에 있어서 주요한 특징이다. 기공을 가진 전극 물

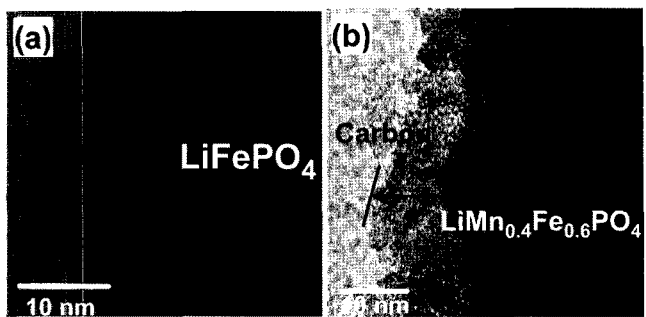


Fig. 4. HR-TEM images of (a) LiFePO_4 and (b) $\text{LiMn}_{0.4}\text{Fe}_{0.6}\text{PO}_4$.

질에 전해액을 첨가시키면 전해액은 기공들을 채우게 되고 채워진 전해액은 리튬이온이 자유롭게 이동 할 수 있는 통로를 제공한다. 이때 더 많은 기공들을 가진 양극물질일수록 리튬이온의 이동이 쉬워 전기화학적 특성이 향상된다. LiFePO_4 와 $\text{LiMn}_{0.4}\text{Fe}_{0.6}\text{PO}_4$ 모두 기공이 잘 발달되어 있지만 $\text{LiMn}_{0.4}\text{Fe}_{0.6}\text{PO}_4$ 가 좀 더 기공이 많은 것을 SEM 사진을 통하여 알 수 있다. 이는 두 양극물질의 전기화학적 특성에 영향을 주게 된다.

전기방사에 의해 제조된 고분자필름은 Fig. 3(e)에서와 같이 평균 직경 $2 \mu\text{m}$ 의 무수한 섬유들이 모여 그물 모양을 형성하고 있다. 이러한 고분자필름에 액체전해질을 함침시키면 액체전해질은 고분자필름의 섬유들이 겹쳐 만든 기공들 사이에 스며들어 젤 형태의 고분자전해질을 제조할 수 있다.

LiFePO_4 와 $\text{LiMn}_{0.4}\text{Fe}_{0.6}\text{PO}_4$ 의 입자 표면에 카본이 코팅된 상태를 알기 위하여 HR-TEM으로 관찰하여 Fig. 4에 나타내었다. 합성된 양극물질의 결정은 빽빽한 벳살무늬, 무정형의 카본은 물결무늬로 보인다. 기공이 발달한 입자의 TEM 사진은 두께가 일정하지 않아 Fig. 4와 같이 벳살무늬 즉 결정형의 방향이 일정하지 않다. 구연산을 열처리시켜 얻은 카본 층이 두 물질 모두 약 10 nm 두께로 고르게 코팅되어 있음을 확인할 수 있으며, 이로 인하여 전기전도도가 향상되어 양극 활물질의 전기화학적 특성이 개선될 수 있다.

Fig. 5는 졸-겔법에 의해 합성된 $\text{LiMn}_{0.4}\text{Fe}_{0.6}\text{PO}_4$ 의 첫 번째, 두 번째, 다섯 번째 주기의 순환전압전류 곡선을 나타낸 것이다. 순환전압전류 곡선을 통하여 리튬이온의 삽입과 방출이 일어나는 전압 영역을 알 수 있는데, LiFePO_4 는 3.6 V 에서 산화,

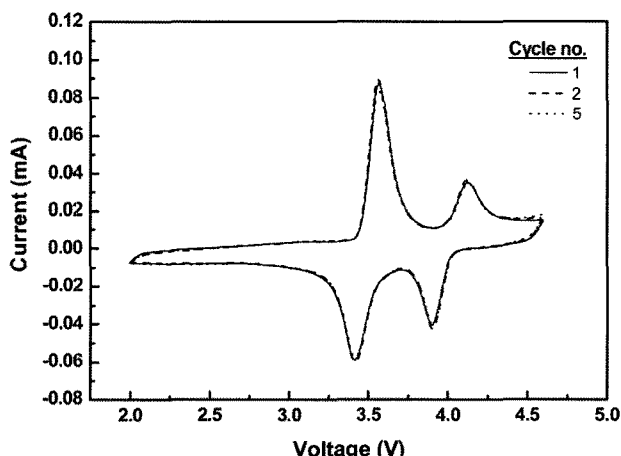


Fig. 5. CV curves during cycling of $\text{LiMn}_{0.4}\text{Fe}_{0.6}\text{PO}_4$ (scan rate: 0.1 mV/s , voltage range $2.0\text{--}4.6 \text{ V}$).

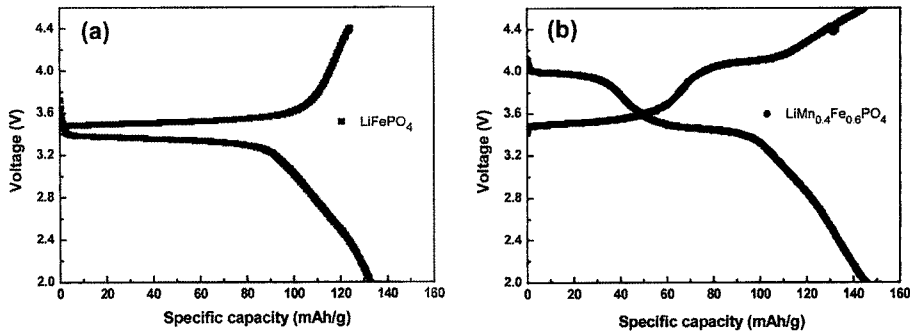


Fig. 6. Initial charge-discharge curves of lithium cells with (a) LiFePO₄ and (b) LiMn_{0.4}Fe_{0.6}PO₄ (25°C, 0.1 C-rate).

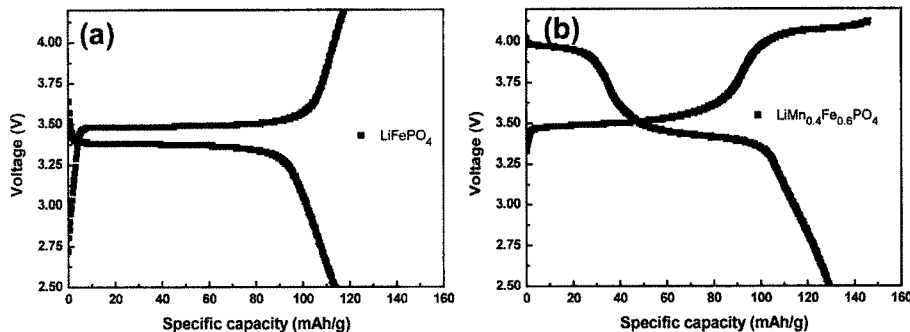


Fig. 7. First cycle charge and discharge capacities of (a) LiFePO₄ and (b) LiMn_{0.4}Fe_{0.6}PO₄ cells with polymer electrolyte based on electrospun P(VdF-HFP) membrane (25°C, 0.1 C-rate, 2.5 to 4.2 V).

3.25 V에서 환원이 일어나는 한 쌍의 꾹을 가진다. 그러나 LiMn_{0.4}Fe_{0.6}PO₄는 LiFePO₄와는 달리 두 쌍의 꾹을 가지는데 이는 Fe³⁺/Fe²⁺ 산화-환원반응의 3.5 V 근처의 꾹과 Mn³⁺/Mn²⁺ 산화-환원반응의 4.0 V 주변의 꾹이다. Fig. 5에서 Fe, Mn의 산화-환원 전위차는 각각 0.15 V, 0.2 V로 작은 것을 알 수 있으며, 사이클이 진행된 후에도 전류와 전압 구간이 거의 일정한 것을 확인할 수 있다. 이것은 전지의 저항이 작으며 물질 내에 같은 양의 리튬이온이 삽입, 방출되는 것으로 산화-환원 반응이 가역적으로 잘 일어난다는 것을 의미한다.

액체전해질을 이용하여 LiFePO₄와 LiMn_{0.4}Fe_{0.6}PO₄를 양극 활물질로, 리튬을 음극물질로 한 전지를 0.1 C-rate(0.06 mA/cm²)에서 실시한 첫 번째 충방전 곡선을 Fig. 6에 나타내었다. Fig. 6(a)의 LiFePO₄인 경우 충전 시 3.48 V, 방전 시 3.38 V에서 평탄전압이 관찰되며, 방전용량은 이론용량의 78%에 해당하는 132 mAh/g이다. LiMn_{0.4}Fe_{0.6}PO₄ Fig. 6(b)는 Mn³⁺/Mn²⁺와 Fe³⁺/Fe²⁺의 두

개의 평탄 구간을 가지며, 충전 시 4.1 V와 3.52 V, 방전 시 4.0 V와 3.46 V에서 각각 평탄 영역이 나타난다. LiMn_{0.4}Fe_{0.6}PO₄의 방전용량은 145 mAh/g로 이론용량의 85%에 해당하는 값이다. 두 액극물질을 비교할 때, Fe의 일정량을 Mn으로 치환할 때 방전용량 면에서 약 10%가 증가하였다. 이는 Fe를 Mn으로 일정량 대체하여 방전용량이 증가하였을 뿐만 아니라 Mn의 높은 고유평탄 전압에 의한 에너지출력이 증가하여 전체적으로 LiMn_{0.4}Fe_{0.6}PO₄의 전기화학적 특성이 LiFePO₄ 보다 더 우수하다는 것을 의미한다.

Fig. 7은 LiFePO₄와 LiMn_{0.4}Fe_{0.6}PO₄에 전기방사로 제조된 젤고분자 전해질을 적용하여 얻은 충방전 곡선이다. 전류밀도는 앞의 액체전해질과 동일한 0.1 C-rate이며, 2.5~4.2 V 전압구간에서 측정하였다. LiFePO₄의 곡선에서 평탄전압 차 ΔV는 0.12 V로 액체전해질의 0.1 V보다 0.02 V 증가하였으며, LiMn_{0.4}Fe_{0.6}PO₄는 Mn과 Fe의 평탄전압이 충전 시 4.1 V, 3.5 V, 방전 시 3.95 V,

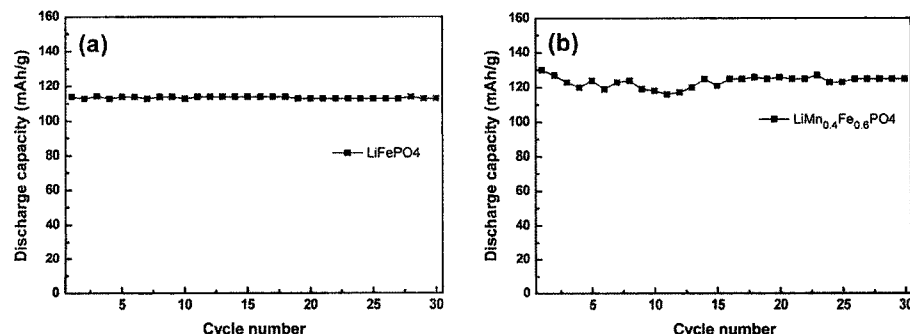


Fig. 8. Cycling performance of (a) LiFePO₄ and (b) LiMn_{0.4}Fe_{0.6}PO₄ cells with polymer electrolyte (25°C, 0.1 C-rate, 2.5 to 4.2 V).

3.4 V에서 관찰되었다. 이는 액체전해질을 사용하였을 경우의 ΔV (0.1 V, 0.06 V) 보다 0.03 V, 0.04 V 증가한 값이다. ΔV 의 증가는 고분자전해질이 액체전해질에 비해 저항이 크다는 것을 의미한다. 초기방전용량은 LiFePO_4 가 114 mAh/g, $\text{LiMn}_{0.4}\text{Fe}_{0.6}\text{PO}_4$ 가 130 mAh/g으로 액체전해질과 비교해 각각 18, 15 mAh/g 만큼 감소하였다. 위와 같이 전기방사를 이용한 고분자전해질을 적용시 액체전해질에 비하여 전지 내 저항이 증가하여 평坦전압 차는 커지고 방전용량은 감소하였다. 젤 고분자를 사용한 LiFePO_4 , $\text{LiMn}_{0.4}\text{Fe}_{0.6}\text{PO}_4$ 전지의 사이를 특성을 Fig. 8에 나타내었다. LiFePO_4 , $\text{LiMn}_{0.4}\text{Fe}_{0.6}\text{PO}_4$ 모두 30 사이클 후 각각 99%, 96%의 높은 방전용량 유지율을 보여주고 있다. 두 양극 물질의 사이를 안정성을 비교하면 LiFePO_4 가 더 우수한 것을 알 수가 있었으며, $\text{LiMn}_{0.4}\text{Fe}_{0.6}\text{PO}_4$ 의 경우 초기에 용량 감소가 현저하게 나타나며 16 사이클 이후 안정하게 된다.

4. 결 론

두 종류의 양극 활물질, LiFePO_4 와 $\text{LiMn}_{0.4}\text{Fe}_{0.6}\text{PO}_4$ 를 줄-겔법에 의하여 합성하였다. 제조된 두 양극물질은 Fe^{3+} 의 불순물과 Li_3PO_4 , LiFeP_2O_7 등이 존재하지 않으며, 구성원소들의 양론비와 일치하여 순수한 결정상이 형성된 것을 확인하였다. 두 양극 활물질의 입자 표면에 많은 기공이 분포하며, 입자크기는 비슷하나 $\text{LiMn}_{0.4}\text{Fe}_{0.6}\text{PO}_4$ 의 기공이 더 발달되어 있다는 것을 확인하였다. HR-TEM을 통하여 입자 주위에 대략 10 nm 두께의 카본 코팅층이 고르게 분포된 것을 알 수 있었다. 액체전해질을 사용하여 LiFePO_4 는 132 mAh/g, $\text{LiMn}_{0.4}\text{Fe}_{0.6}\text{PO}_4$ 는 145 mAh/g의 방전용량을 얻었으며, 이는 각각 이론용량의 78%, 85%에 해당하는 용량이다. Fe 의 일정량을 Mn 으로 치환한 경우 전기화학적 특성이 향상됨을 알 수 있었다. 전기방사에 의해 제조된 고분자전해질을 이용하여 LiFePO_4 는 114 mAh/g, $\text{LiMn}_{0.4}\text{Fe}_{0.6}\text{PO}_4$ 는 130 mAh/g의 방전용량을 나타내었다. LiFePO_4 , $\text{LiMn}_{0.4}\text{Fe}_{0.6}\text{PO}_4$ 모두 30 사이클 후 각각 99%, 96%의 높은 방전용량 유지율을 나타내어, 사이클 특성에서도 두 양극물질 모두 우수하다는 것을 알 수 있다.

감사의 글

This research was supported by SMBA(Small and Medium Business Administration)(S1024119).

참고문헌

- A. K. Padhi, K. S. Nanjundaswamy, and J. B. Goodenough, *J. Electrochem. Soc.*, **144**, 1188 (1997).
- N. Ravet, J. B. Goodenough, S. Besner, M. Simoneau, P. Hovington, and M. Armand, Abstract 127, The Electrochemical Society and The Electrochemical Society of Japan Meeting Abstracts, Vol. 99-2, Honolulu, HI, Oct 17-22 (1999).
- R. Dominko, M. Bele, M. Gaberscek, M. Remskar, D. Hanzel, J. M. Goupil, S. Pejovnik, and J. Jamnik, *J. Power Sources*, **153**, 274 (2006).
- J. K. Kim, G. Cheruvally, J. W. Choi, J. U. Kim, J. H. Ahn, G. B. Cho, K. W. Kim, and H. J. Ahn, *J. Power Sources*, **166**, 211 (2007).
- J. K. Kim, J. W. Choi, G. Cheruvally, J. U. Kim, J. H. Ahn, G. B. Cho, K. W. Kim, and H. J. Ahn, *Mater. Lett.*, **61**, 3822 (2007).
- J. Chen and M. S. Whittingham, *Electrochim. Commun.*, **8**, 855 (2006).
- S. L. Bewlay, K. Konstantinov, G. X. Wang, S. X. Dou, and H. K. Liu, *Mater. Lett.*, **58**, 1788 (2004).
- M. Higuchi, K. Katayama, Y. Azuma, M. Yukawa, and M. Suhara, *J. Power Sources*, **119-121**, 258 (2003).
- J. K. Kim, G. Cheruvally, and J. H. Ahn, *J. Solid State Electrochem.*, in press (2008).
- A. Yamada and S. C. Chung, *J. Electrochem. Soc.*, **148**, A960 (2001).
- A. Yamada, Y. Kudo, and K. Y. Liu, *J. Electrochem. Soc.*, **148**, A1153 (2001).
- Y. J. Shin, J. K. Kim, G. Cheruvally, J. H. Ahn, and K. W. Kim, *J. Phys. Chem. Solids*, **69**, 1253 (2008).
- G. B. Appetecchi, F. Croce, and B. Scrosati, *J. Power Sources*, **66**, 77 (1997).
- T. H. Cho, T. Sakai, S. Tanase, K. Kimura, Y. Kondo, T. Tarao, and M. Tanaki, *Electrochim. Solid State Lett.*, **10**, A159 (2007).
- J. R. Kim, S. W. Choi, S. M. Jo, W. S. Lee, and B. C. Kim, *J. Electrochem. Soc.*, **152**, A295 (2005).
- X. Li, G. Cheruvally, J. K. Kim, J. W. Choi, J. H. Ahn, K. W. Kim, and H. J. Ahn, *J. Power Sources*, **167**, 491 (2007).
- J. W. Choi, G. Cheruvally, Y. H. Kim, J. K. Kim, J. Manuel, P. Raghavan, J. H. Ahn, K. W. Kim, H. J. Ahn, D. S. Choi, and C. E. Song, *Solid State Ionics*, **178**, 1235 (2007).
- J. K. Kim, G. Cheruvally, X. Li, J. H. Ahn, K. W. Kim, and H. J. Ahn, *J. Power Sources*, **178**, 815 (2008).
- J. K. Kim, G. Cheruvally, J. H. Ahn, and H. J. Ahn, *J. Phys. Chem. Solids*, **69**, 1257 (2008).